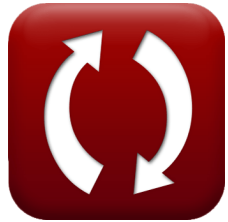


calculatoratoz.comunitsconverters.com

Arch Dams Formule

[Calcolatrici!](#)[Esempi!](#)[Conversioni!](#)

Segnalibro calculatoratoz.com, unitsconverters.com

La più ampia copertura di calcolatrici e in crescita - **30.000+ calcolatrici!**

Calcola con un'unità diversa per ogni variabile - **Nella conversione di unità costruita!**

La più ampia raccolta di misure e unità - **250+ misurazioni!**

Sentiti libero di CONDIVIDERE questo documento con i tuoi amici!

[Si prega di lasciare il tuo feedback qui...](#)



Lista di 45 Arch Dams Formule

Arch Dams ↗

1) Angolo tra la corona e i monconi dato in spinta ai monconi dell'Arch Dam ↗

fx $\theta = a \cos \left(\frac{P - P_v \cdot r}{-P_v \cdot r + F} \right)$

[Apri Calcolatrice ↗](#)

ex $29.95684^\circ = a \cos \left(\frac{16\text{kN/m} - 21.7\text{kPa/m}^2 \cdot 5.5\text{m}}{-21.7\text{kPa/m}^2 \cdot 5.5\text{m} + 63.55\text{N}} \right)$

2) Extrados sottolinea l'Arch Dam ↗

fx $S = \left(\frac{F}{t} \right) - \left(6 \cdot \frac{M_t}{t^2} \right)$

[Apri Calcolatrice ↗](#)

ex $-174.125\text{N/m}^2 = \left(\frac{63.55\text{N}}{1.2\text{m}} \right) - \left(6 \cdot \frac{54.5\text{N*m}}{(1.2\text{m})^2} \right)$

3) Forza di taglio data dalla deflessione dovuta al taglio sulla diga ad arco ↗

fx $F_s = \delta \cdot \frac{E}{K_3}$

[Apri Calcolatrice ↗](#)

ex $49.11111\text{N} = 48.1\text{m} \cdot \frac{10.2\text{N/m}^2}{9.99}$



4) Forza di taglio data dalla rotazione dovuta al taglio sull'arco diga ↗

fx $F_s = \Phi \cdot \frac{E \cdot t}{K_5}$

[Apri Calcolatrice ↗](#)

ex $45.09474N = 35\text{rad} \cdot \frac{10.2N/m^2 \cdot 1.2m}{9.5}$

5) Intrados sottolinea l'Arch Dam ↗

fx $S = \left(\frac{F}{t} \right) + \left(6 \cdot \frac{M_t}{t^2} \right)$

[Apri Calcolatrice ↗](#)

ex $280.0417N/m^2 = \left(\frac{63.55N}{1.2m} \right) + \left(6 \cdot \frac{54.5N*m}{(1.2m)^2} \right)$

6) Raggio alla linea centrale data spinta agli abutments of Arch Dam ↗

fx $r = \frac{\frac{P - F \cdot \cos(\theta)}{1 - \cos(\theta)}}{P_v}$

[Apri Calcolatrice ↗](#)

ex $5.484554m = \frac{\frac{16kN/m - 63.55N \cdot \cos(30^\circ)}{1 - \cos(30^\circ)}}{21.7kPa/m^2}$

7) Rotazione dovuta al momento sull'arco della diga ↗

fx $\Phi = M_t \cdot \frac{K_1}{E \cdot t \cdot t}$

[Apri Calcolatrice ↗](#)

ex $37.14222\text{rad} = 54.5N*m \cdot \frac{10.01}{10.2N/m^2 \cdot 1.2m \cdot 1.2m}$



8) Rotazione dovuta al taglio sulla diga ad arco ↗

$$fx \quad \Phi = F_s \cdot \frac{K_5}{E \cdot t}$$

[Apri Calcolatrice ↗](#)

$$ex \quad 37.64297 \text{ rad} = 48.5 \text{ N} \cdot \frac{9.5}{10.2 \text{ N/m}^2 \cdot 1.2 \text{ m}}$$

9) Rotazione dovuta alla torsione sull'arco della diga ↗

$$fx \quad \Phi = M \cdot \frac{K_4}{E \cdot t^2}$$

[Apri Calcolatrice ↗](#)

$$ex \quad 34.79167 \text{ rad} = 51 \text{ N*m} \cdot \frac{10.02}{10.2 \text{ N/m}^2 \cdot (1.2 \text{ m})^2}$$

Spessore costante sulla diga ad arco ↗

10) Costante K5 data la rotazione dovuta al taglio sull'arco diga ↗

$$fx \quad K_5 = \Phi \cdot \frac{E \cdot t}{F_s}$$

[Apri Calcolatrice ↗](#)

$$ex \quad 8.83299 = 35 \text{ rad} \cdot \frac{10.2 \text{ N/m}^2 \cdot 1.2 \text{ m}}{48.5 \text{ N}}$$

11) K1 costante data la rotazione dovuta al momento sull'arco diga ↗

$$fx \quad K_1 = \frac{\Phi \cdot (E \cdot t \cdot t)}{M_t}$$

[Apri Calcolatrice ↗](#)

$$ex \quad 9.432661 = \frac{35 \text{ rad} \cdot (10.2 \text{ N/m}^2 \cdot 1.2 \text{ m} \cdot 1.2 \text{ m})}{54.5 \text{ N*m}}$$



12) K2 costante data la deflessione dovuta alla spinta sull'arco diga ↗

$$fx \quad K_2 = \delta \cdot \frac{E}{F}$$

[Apri Calcolatrice ↗](#)

$$ex \quad 7.72022 = 48.1m \cdot \frac{10.2N/m^2}{63.55N}$$

13) K3 costante data la deflessione dovuta al taglio sull'arco della diga ↗

$$fx \quad K_3 = \delta \cdot \frac{E}{F_s}$$

[Apri Calcolatrice ↗](#)

$$ex \quad 10.11588 = 48.1m \cdot \frac{10.2N/m^2}{48.5N}$$

14) K4 costante data la rotazione dovuta alla torsione sull'arco diga ↗

$$fx \quad K_4 = (E \cdot t^2) \cdot \frac{\Phi}{M}$$

[Apri Calcolatrice ↗](#)

$$ex \quad 10.08 = \left(10.2N/m^2 \cdot (1.2m)^2 \right) \cdot \frac{35rad}{51N*m}$$

15) K5 costante data la deflessione dovuta ai momenti sulla diga ad arco ↗

$$fx \quad K_5 = \delta \cdot \frac{E \cdot t}{M_t}$$

[Apri Calcolatrice ↗](#)

$$ex \quad 10.80264 = 48.1m \cdot \frac{10.2N/m^2 \cdot 1.2m}{54.5N*m}$$



Deflessione sulle dighe ad arco ↗

16) Deflessione dovuta al taglio sulla diga ad arco ↗

$$fx \quad \delta = F_s \cdot \frac{K_3}{E}$$

[Apri Calcolatrice ↗](#)

ex $47.50147m = 48.5N \cdot \frac{9.99}{10.2N/m^2}$

17) Deflessione dovuta alla spinta sull'arco della diga ↗

$$fx \quad \delta = F \cdot \frac{K_2}{E}$$

[Apri Calcolatrice ↗](#)

ex $62.92696m = 63.55N \cdot \frac{10.1}{10.2N/m^2}$

18) Deviazione dovuta a Momenti sull'Arco Diga ↗

$$fx \quad \delta = M_t \cdot \frac{K_5}{E \cdot t}$$

[Apri Calcolatrice ↗](#)

ex $42.29984m = 54.5N*m \cdot \frac{9.5}{10.2N/m^2 \cdot 1.2m}$



Modulo elastico della roccia ↗

19) Modulo elastico della roccia data la deflessione dovuta al taglio sulla diga ad arco ↗

fx $E = F_s \cdot \frac{K_3}{\delta}$

[Apri Calcolatrice ↗](#)

ex $10.07308 \text{ N/m}^2 = 48.5 \text{ N} \cdot \frac{9.99}{48.1 \text{ m}}$

20) Modulo elastico della roccia data la rotazione dovuta al momento sull'arco della diga ↗

fx $E = M_t \cdot \frac{K_1}{\Phi \cdot T \cdot t}$

[Apri Calcolatrice ↗](#)

ex $10.73485 \text{ N/m}^2 = 54.5 \text{ N*m} \cdot \frac{10.01}{35 \text{ rad} \cdot 1.21 \text{ m} \cdot 1.2 \text{ m}}$

21) Modulo elastico della roccia data la rotazione dovuta al taglio sulla diga ad arco ↗

fx $E = F_s \cdot \frac{K_5}{\Phi \cdot T}$

[Apri Calcolatrice ↗](#)

ex $10.87957 \text{ N/m}^2 = 48.5 \text{ N} \cdot \frac{9.5}{35 \text{ rad} \cdot 1.21 \text{ m}}$



22) Modulo elastico della roccia data la rotazione dovuta alla torsione sull'arco della diga

fx $E = M \cdot \frac{K_4}{\Phi \cdot T^2}$

[Apri Calcolatrice](#)

ex $9.972387 \text{ N/m}^2 = 51 \text{ N*m} \cdot \frac{10.02}{35 \text{ rad} \cdot (1.21 \text{ m})^2}$

23) Modulo elastico della roccia dato dalla deflessione dovuta ai momenti sull'arco della diga

fx $E = M_t \cdot \frac{K_5}{\delta \cdot T}$

[Apri Calcolatrice](#)

ex $8.895895 \text{ N/m}^2 = 54.5 \text{ N*m} \cdot \frac{9.5}{48.1 \text{ m} \cdot 1.21 \text{ m}}$

24) Modulo elastico della roccia dato dalla deflessione dovuta alla spinta sull'arco della diga

fx $E = F \cdot \frac{K_2}{\delta}$

[Apri Calcolatrice](#)

ex $13.34418 \text{ N/m}^2 = 63.55 \text{ N} \cdot \frac{10.1}{48.1 \text{ m}}$



Momenti di recitazione su Arch Dam ↗

25) Momenti con deviazione dovuta a Momenti su Arch Dam ↗

$$fx \quad M_t = \delta \cdot \frac{E \cdot t}{K_5}$$

[Apri Calcolatrice ↗](#)

$$ex \quad 61.97305N*m = 48.1m \cdot \frac{10.2N/m^2 \cdot 1.2m}{9.5}$$

26) Momenti dati alla rotazione a causa della torsione sulla diga ad arco ↗

$$fx \quad M = (E \cdot t^2) \cdot \frac{\Phi}{K_4}$$

[Apri Calcolatrice ↗](#)

$$ex \quad 51.30539N*m = (10.2N/m^2 \cdot (1.2m)^2) \cdot \frac{35rad}{10.02}$$

27) Momenti dati da Intrados Stresses su Arch Dam ↗

$$fx \quad M_t = \frac{S \cdot t \cdot t - F \cdot t}{6}$$

[Apri Calcolatrice ↗](#)

$$ex \quad 47.29N*m = \frac{250N/m^2 \cdot 1.2m \cdot 1.2m - 63.55N \cdot 1.2m}{6}$$

28) Momenti dati Extrados Stresss su Arch Dam ↗

$$fx \quad M_t = \sigma_e \cdot t \cdot t + F \cdot \frac{t}{6}$$

[Apri Calcolatrice ↗](#)

$$ex \quad 48.71N*m = 25N/m^2 \cdot 1.2m \cdot 1.2m + 63.55N \cdot \frac{1.2m}{6}$$



29) Momenti dati Rotazione dovuta al Momento sull'Arco Diga

fx $M_t = \frac{\Phi \cdot (E \cdot t \cdot t)}{K_1}$

[Apri Calcolatrice !\[\]\(8b57f0e15e7dda24cf9977561475f640_img.jpg\)](#)

ex $51.35664 \text{ N} \cdot \text{m} = \frac{35 \text{ rad} \cdot (10.2 \text{ N/m}^2 \cdot 1.2 \text{ m} \cdot 1.2 \text{ m})}{10.01}$

30) Momento a Crown of Arch Dam

fx $M_t = -r \cdot ((p \cdot r) - F) \cdot \left(1 - \left(\frac{\sin(A)}{A} \right) \right)$

[Apri Calcolatrice !\[\]\(ceb7cef9f9d693d102dfe501130037c6_img.jpg\)](#)

ex $108.9264 \text{ N} \cdot \text{m} = -5.5 \text{ m} \cdot ((8 \cdot 5.5 \text{ m}) - 63.55 \text{ N}) \cdot \left(1 - \left(\frac{\sin(31 \text{ rad})}{31 \text{ rad}} \right) \right)$

31) Momento ai monconi dell'Arch Dam

fx $M_t = r \cdot ((p \cdot r) - F) \cdot \left(\frac{\sin(A)}{A} - \cos(A) \right)$

[Apri Calcolatrice !\[\]\(5a09a9dfd2f1e923eccb8c24714edf51_img.jpg\)](#)

ex $99.7591 \text{ N} \cdot \text{m} = 5.5 \text{ m} \cdot ((8 \cdot 5.5 \text{ m}) - 63.55 \text{ N}) \cdot \left(\frac{\sin(31 \text{ rad})}{31 \text{ rad}} - \cos(31 \text{ rad}) \right)$

Pressione radiale normale delle dighe ad arco

32) Pressione radiale normale sulla linea centrale data la spinta agli abutment della diga ad arco

fx $P_v = \left(\frac{P + F \cdot \cos(\theta)}{r - (r \cdot \cos(\theta))} \right)$

[Apri Calcolatrice !\[\]\(e11f4c47008b23dfe2f4f7c6bb9034d1_img.jpg\)](#)

ex $21.78844 \text{ kPa/m}^2 = \left(\frac{16 \text{ kN/m} + 63.55 \text{ N} \cdot \cos(30^\circ)}{5.5 \text{ m} - (5.5 \text{ m} \cdot \cos(30^\circ))} \right)$



33) Pressione radiale normale sulla linea centrale data la spinta alla diga della corona dell'arco

[Apri Calcolatrice](#)

fx $P_v = \frac{F_C}{(r) \cdot \left(1 - \left(2 \cdot \theta \cdot \frac{\sin\left(\theta \cdot \frac{\left(\frac{t}{r}\right)^2}{12}\right)}{D} \right) \right)}$

ex $21.82293 \text{kPa/m}^2 = \frac{120 \text{kN}}{(5.5 \text{m}) \cdot \left(1 - \left(2 \cdot 30^\circ \cdot \frac{\sin\left(30^\circ \cdot \frac{(1.2 \text{m})^2}{12}\right)}{9.999 \text{m}} \right) \right)}$

34) Pressione radiale normale sulla linea centrale data Momento alla diga della corona dell'arco

[Apri Calcolatrice](#)

fx $P_v = \frac{F_C \cdot r \cdot \left(1 - \left(\frac{\sin(\theta)}{\theta} \right) \right) - (M_t)}{(r^2) \cdot \left(1 - \left(\frac{\sin(\theta)}{\theta} \right) \right)}$

ex $21.77821 \text{kPa/m}^2 = \frac{120 \text{kN} \cdot 5.5 \text{m} \cdot \left(1 - \left(\frac{\sin(30^\circ)}{30^\circ} \right) \right) - (54.5 \text{N*m})}{((5.5 \text{m})^2) \cdot \left(1 - \left(\frac{\sin(30^\circ)}{30^\circ} \right) \right)}$



35) Pressione radiale normale sulla linea centrale data Momento sui monconi della diga ad arco ↗

[Apri Calcolatrice ↗](#)

fx
$$P_v = \frac{F_C \cdot r \cdot \left(\left(\frac{\sin(\theta)}{\theta} \right) - \cos(\theta) \right) - (M_t)}{(r^2) \cdot \left(\left(\frac{\sin(\theta)}{\theta} \right) - \cos(\theta) \right)}$$

ex
$$21.79792 \text{ kPa/m}^2 = \frac{120 \text{ kN} \cdot 5.5 \text{ m} \cdot \left(\left(\frac{\sin(30^\circ)}{30^\circ} \right) - \cos(30^\circ) \right) - (54.5 \text{ N*m})}{\left((5.5 \text{ m})^2 \right) \cdot \left(\left(\frac{\sin(30^\circ)}{30^\circ} \right) - \cos(30^\circ) \right)}$$

Spessore radiale dell'elemento ↗

36) Spessore radiale dell'elemento data la rotazione dovuta al momento sull'arco diga ↗

[Apri Calcolatrice ↗](#)

fx
$$t = \left(M_t \cdot \frac{K_1}{E \cdot \Phi} \right)^{0.5}$$

ex
$$1.236178 \text{ m} = \left(54.5 \text{ N*m} \cdot \frac{10.01}{10.2 \text{ N/m}^2 \cdot 35 \text{ rad}} \right)^{0.5}$$

37) Spessore radiale dell'elemento sottoposto a rotazione dovuta alla torsione sull'arco diga ↗

[Apri Calcolatrice ↗](#)

fx
$$t = \left(M \cdot \frac{K_4}{E \cdot \Phi} \right)^{0.5}$$

ex
$$1.196423 \text{ m} = \left(51 \text{ N*m} \cdot \frac{10.02}{10.2 \text{ N/m}^2 \cdot 35 \text{ rad}} \right)^{0.5}$$



38) Spessore radiale dell'elemento sottoposto alla deflessione dovuta ai momenti sull'arco della diga ↗

fx $t = M_t \cdot \frac{K_5}{E \cdot \delta}$

[Apri Calcolatrice ↗](#)

ex $1.055297\text{m} = 54.5\text{N}\cdot\text{m} \cdot \frac{9.5}{10.2\text{N}/\text{m}^2 \cdot 48.1\text{m}}$

39) Spessore radiale dell'elemento sottoposto alla rotazione dovuta al taglio sull'arco della diga ↗

fx $t = F_s \cdot \frac{K_5}{E \cdot \Phi}$

[Apri Calcolatrice ↗](#)

ex $1.290616\text{m} = 48.5\text{N} \cdot \frac{9.5}{10.2\text{N}/\text{m}^2 \cdot 35\text{rad}}$

Spinta sulla diga ad arco ↗

40) Spinta ai monconi dell'Arch Dam ↗

fx $P = P_v \cdot r - (P_v \cdot r - F) \cdot \cos(\theta)$

[Apri Calcolatrice ↗](#)

ex

$16.0449\text{kN}/\text{m} = 21.7\text{kPa}/\text{m}^2 \cdot 5.5\text{m} - (21.7\text{kPa}/\text{m}^2 \cdot 5.5\text{m} - 63.55\text{N}) \cdot \cos(30^\circ)$



41) Spinta alla corona della diga ad arco ↗

[Apri Calcolatrice ↗](#)

$$fx \quad F = (p \cdot r) \cdot \left(1 - \left(2 \cdot \theta \cdot \frac{\sin\left(\theta \cdot \frac{\left(\frac{T_b}{r}\right)^2}{12}\right)}{D} \right) \right)$$

$$ex \quad 43.98877N = (8 \cdot 5.5m) \cdot \left(1 - \left(2 \cdot 30^\circ \cdot \frac{\sin\left(30^\circ \cdot \frac{(1.3m)^2}{12}\right)}{9.999m} \right) \right)$$

42) Spinta alla diga Crown of Arch data Moment at Abutments ↗

[Apri Calcolatrice ↗](#)

$$fx \quad F = \frac{M_t}{r \cdot \left(\frac{\sin(\theta)}{\theta - (\cos(\theta))} \right)} + p \cdot r$$

$$ex \quad 37.21373N = \frac{54.5N*m}{5.5m \cdot \left(\frac{\sin(30^\circ)}{30^\circ - (\cos(30^\circ))} \right)} + 8 \cdot 5.5m$$

43) Spinta data da Intrados Stresses su Arch Dam ↗

[Apri Calcolatrice ↗](#)

$$fx \quad F = S \cdot T_b - 6 \cdot \frac{M_t}{T_b}$$

$$ex \quad 73.46154N = 250N/m^2 \cdot 1.3m - 6 \cdot \frac{54.5N*m}{1.3m}$$



44) Spinta data Deflessione dovuta alla Spinta sull'Arco Diga ↗

fx $F = \delta \cdot \frac{E}{K_2}$

Apri Calcolatrice ↗

ex $48.57624N = 48.1m \cdot \frac{10.2N/m^2}{10.1}$

45) Spinta data Extrados Stresses su Arch Dam ↗

fx $F = S \cdot T_b + 6 \cdot \frac{M_t}{T_b^2}$

Apri Calcolatrice ↗

ex $193.8161N = 250N/m^2 \cdot 1.3m + 6 \cdot \frac{54.5N*m}{(1.3m)^2}$



Variabili utilizzate

- **A** Angolo tra corona e raggi abbondanti (*Radiane*)
- **D** Diametro (*metro*)
- **E** Modulo elastico della roccia (*Newton / metro quadro*)
- **F** Spinta dei Monconi (*Newton*)
- **F_C** Spinta alla corona (*Kilonewton*)
- **F_s** Forza di taglio (*Newton*)
- **K₁** Costante K1
- **K₂** Costante K2
- **K₃** Costante K3
- **K₄** Costante K4
- **K₅** Costante K5
- **M** Momento di torsione a sbalzo (*Newton metro*)
- **M_t** Momento che agisce su Arch Dam (*Newton metro*)
- **p** Pressione radiale normale
- **P** Spinta dall'acqua (*Kilonewton per metro*)
- **P_v** Pressione radiale (*Kilopascal / metro quadro*)
- **r** Raggio alla linea centrale dell'arco (*metro*)
- **S** Sollecitazioni Intradosso (*Newton / metro quadro*)
- **t** Spessore orizzontale di un arco (*metro*)
- **T** Spessore dell'arco circolare (*metro*)
- **T_b** Spessore della base (*metro*)
- **δ** Flessione dovuta ai momenti sulla diga ad arco (*metro*)
- **θ** Teta (*Grado*)
- **σ_e** Stress da estradosso (*Newton per metro quadrato*)
- **Φ** Angolo di rotazione (*Radiane*)



Costanti, Funzioni, Misure utilizzate

- **Funzione:** **acos**, acos(Number)
Inverse trigonometric cosine function
- **Funzione:** **cos**, cos(Angle)
Trigonometric cosine function
- **Funzione:** **sin**, sin(Angle)
Trigonometric sine function
- **Misurazione:** **Lunghezza** in metro (m)
Lunghezza Conversione unità 
- **Misurazione:** **Pressione** in Newton / metro quadro (N/m²)
Pressione Conversione unità 
- **Misurazione:** **Energia** in Newton metro (N*m)
Energia Conversione unità 
- **Misurazione:** **Forza** in Newton (N), Kilonewton (kN)
Forza Conversione unità 
- **Misurazione:** **Angolo** in Grado (°), Radiante (rad)
Angolo Conversione unità 
- **Misurazione:** **Tensione superficiale** in Kilonewton per metro (kN/m)
Tensione superficiale Conversione unità 
- **Misurazione:** **Coppia** in Newton metro (N*m)
Coppia Conversione unità 
- **Misurazione:** **Pressione radiale** in Kilopascal / metro quadro (kPa/m²)
Pressione radiale Conversione unità 
- **Misurazione:** **Fatica** in Newton per metro quadrato (N/m²)
Fatica Conversione unità 



Controlla altri elenchi di formule

- Arch Dams Formule 
- Dighe contraffatte Formule 
- Diga terrestre e diga a gravità Formule 

Sentiti libero di CONDIVIDERE questo documento con i tuoi amici!

PDF Disponibile in

[English](#) [Spanish](#) [French](#) [German](#) [Russian](#) [Italian](#) [Portuguese](#) [Polish](#) [Dutch](#)

11/29/2023 | 4:56:23 AM UTC

[Si prega di lasciare il tuo feedback qui...](#)

